

Starkniederschlagshöhen und -spenden gemäß KOSTRA-DWD-2010R

Auswertungszeitraum von 1951 - 2010, Januar - Dezember

Rasterfeld: 51047

Zeile: 51

Spalte: 47

Seite: 1/2

| Dauerstufe D | Wiederkehrzeit T | | | | | | | | | | | | | | | | | | |
|--------------|------------------|------|------------|------|------------|------|------------|------|------------|------|------------|------|------------|------|------------|------|------------|-------|------------|
| | 1 a | | 2 a | | 3 a | | 5 a | | 10 a | | 20 a | | 30 a | | 50 a | | 100 a | | |
| min | Std | mm | l / (s ha) | mm | l / (s ha) | mm | l / (s ha) | mm | l / (s ha) | mm | l / (s ha) | mm | l / (s ha) | mm | l / (s ha) | mm | l / (s ha) | mm | l / (s ha) |
| 5 | | 4,9 | 163,3 | 5,9 | 196,7 | 6,5 | 216,7 | 7,3 | 243,3 | 8,4 | 280,0 | 9,4 | 313,3 | 10,0 | 333,3 | 10,8 | 360,0 | 11,8 | 393,3 |
| 10 | | 7,6 | 126,7 | 9,2 | 153,3 | 10,1 | 168,3 | 11,3 | 188,3 | 12,9 | 215,0 | 14,5 | 241,7 | 15,5 | 258,3 | 16,6 | 276,7 | 18,2 | 303,3 |
| 15 | | 9,3 | 103,3 | 11,4 | 126,7 | 12,6 | 140,0 | 14,1 | 156,7 | 16,2 | 180,0 | 18,2 | 202,2 | 19,4 | 215,6 | 20,9 | 232,2 | 23,0 | 255,6 |
| 20 | | 10,5 | 87,5 | 13,0 | 108,3 | 14,4 | 120,0 | 16,2 | 135,0 | 18,7 | 155,8 | 21,1 | 175,8 | 22,6 | 188,3 | 24,4 | 203,3 | 26,8 | 223,3 |
| 30 | | 12,0 | 66,7 | 15,2 | 84,4 | 17,0 | 94,4 | 19,4 | 107,8 | 22,5 | 125,0 | 25,7 | 142,8 | 27,5 | 152,8 | 29,9 | 166,1 | 33,0 | 183,3 |
| 45 | | 13,3 | 49,3 | 17,4 | 64,4 | 19,8 | 73,3 | 22,8 | 84,4 | 26,8 | 99,3 | 30,9 | 114,4 | 33,3 | 123,3 | 36,2 | 134,1 | 40,3 | 149,3 |
| 60 | | 14,1 | 39,2 | 18,9 | 52,5 | 21,8 | 60,6 | 25,4 | 70,6 | 30,2 | 83,9 | 35,0 | 97,2 | 37,9 | 105,3 | 41,5 | 115,3 | 46,3 | 128,6 |
| 90 | | 15,7 | 29,1 | 20,9 | 38,7 | 23,9 | 44,3 | 27,7 | 51,3 | 32,8 | 60,7 | 38,0 | 70,4 | 41,0 | 75,9 | 44,7 | 82,8 | 49,9 | 92,4 |
| 120 | 2 | 17,0 | 23,6 | 22,3 | 31,0 | 25,5 | 35,4 | 29,4 | 40,8 | 34,8 | 48,3 | 40,2 | 55,8 | 43,3 | 60,1 | 47,3 | 65,7 | 52,6 | 73,1 |
| 180 | 3 | 18,9 | 17,5 | 24,6 | 22,8 | 28,0 | 25,9 | 32,2 | 29,8 | 37,9 | 35,1 | 43,5 | 40,3 | 46,9 | 43,4 | 51,1 | 47,3 | 56,8 | 52,6 |
| 240 | 4 | 20,5 | 14,2 | 26,4 | 18,3 | 29,9 | 20,8 | 34,2 | 23,8 | 40,2 | 27,9 | 46,1 | 32,0 | 49,6 | 34,4 | 54,0 | 37,5 | 59,9 | 41,6 |
| 360 | 6 | 22,8 | 10,6 | 29,1 | 13,5 | 32,8 | 15,2 | 37,4 | 17,3 | 43,7 | 20,2 | 50,0 | 23,1 | 53,7 | 24,9 | 58,4 | 27,0 | 64,7 | 30,0 |
| 540 | 9 | 25,4 | 7,8 | 32,1 | 9,9 | 36,0 | 11,1 | 41,0 | 12,7 | 47,7 | 14,7 | 54,3 | 16,8 | 58,3 | 18,0 | 63,2 | 19,5 | 69,9 | 21,6 |
| 720 | 12 | 27,5 | 6,4 | 34,5 | 8,0 | 38,5 | 8,9 | 43,7 | 10,1 | 50,7 | 11,7 | 57,6 | 13,3 | 61,7 | 14,3 | 66,8 | 15,5 | 73,8 | 17,1 |
| 1080 | 18 | 30,6 | 4,7 | 38,0 | 5,9 | 42,4 | 6,5 | 47,8 | 7,4 | 55,2 | 8,5 | 62,6 | 9,7 | 67,0 | 10,3 | 72,4 | 11,2 | 79,8 | 12,3 |
| 1440 | 24 | 33,1 | 3,8 | 40,8 | 4,7 | 45,3 | 5,2 | 51,0 | 5,9 | 58,8 | 6,8 | 66,5 | 7,7 | 71,0 | 8,2 | 76,7 | 8,9 | 84,4 | 9,8 |
| 2880 | 48 | 39,4 | 2,3 | 48,2 | 2,8 | 53,3 | 3,1 | 59,8 | 3,5 | 68,6 | 4,0 | 77,4 | 4,5 | 82,6 | 4,8 | 89,1 | 5,2 | 97,9 | 5,7 |
| 4320 | 72 | 43,6 | 1,7 | 53,0 | 2,0 | 58,6 | 2,3 | 65,5 | 2,5 | 75,0 | 2,9 | 84,4 | 3,3 | 89,9 | 3,5 | 96,9 | 3,7 | 106,3 | 4,1 |

Angaben in mm: Bemessungsniederschlagswerte h(n)

Angaben in l / (s ha): Regenspende R(n) mit $R(n) = h(n) \times 1,666667 / D[\text{min}]$

Toleranzbereiche:

+/- 10 % für $1 a \leq T \leq 5 a$

+/- 15 % für $5 a < T \leq 50 a$

+/- 20 % für $50 a < T \leq 100 a$

Datenbasis: KOSTRA-DWD-2010R des Deutschen Wetterdienstes. Die Regenspende wurde auf Basis des Bemessungsniederschlags zur jeweiligen Andauer berechnet.

Für die Richtigkeit und Aktualität der Angaben wird keine Gewähr übernommen. Erstellt 07/2022.

Starkniederschlagshöhen und -spenden gemäß KOSTRA-DWD-2010R

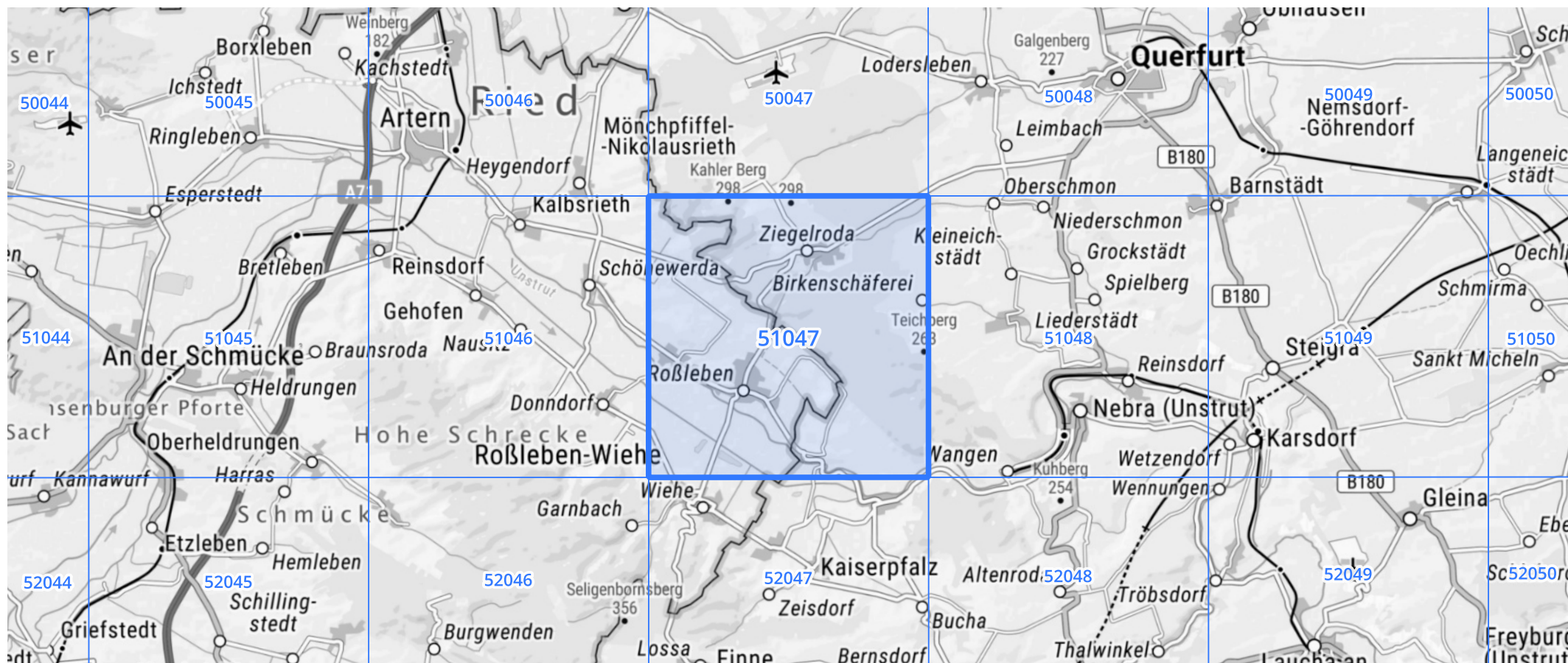
Auswertungszeitraum von 1951 - 2010, Januar - Dezember

Rasterfeld: 51047

Zeile: 51

Spalte: 47

Seite: 2/2



Quelle Rasterdaten: KOSTRA-DWD-2010R des Deutschen Wetterdienstes.

Kartendarstellung: © Bundesamt für Kartographie und Geodäsie (2022), Datenquellen: https://sgx.geodatenzentrum.de/web_public/gdz/datenquellen/Datenquellen_TopPlusOpen.html

Für die Richtigkeit und Aktualität der Angaben wird keine Gewähr übernommen. Erstellt 07/2022.